

Московский Авиационный Институт  
(Национальный Исследовательский Университет)



Курсовая работа по  
Компьютерной графике

---

Симуляция поверхности океана в реальном  
времени с использованием GPU

---

Студент:  
Колесников Е. В.

Преподаватель:  
Измайлова А. А.

21 февраля 2015 г.

# Содержание

1	Введение	2
1.1	Исследуемая область . . . . .	2
1.2	Перспективность исследований . . . . .	2
1.3	Постановка задачи . . . . .	3
1.4	Возможные методы решения . . . . .	3
1.5	Используемые технологии . . . . .	3
2	Используемые математические модели	4
2.1	Модель волны . . . . .	4
2.2	Модель освещения . . . . .	5
3	Детали реализации	8
3.1	Скайбокс . . . . .	8
3.2	Поле высот . . . . .	9
3.3	Освещение . . . . .	13
4	Подведение итогов	15
4.1	Полученные результаты . . . . .	15
4.2	Вывод . . . . .	15
	Список литературы	16

# 1 Введение

## 1.1 Исследуемая область

Исследуемой областью является одно из перспективных направлений в компьютерном моделировании – симуляция поверхности океана. Кажущееся интуитивным предположение, что поставленная задача эквивалентна задаче моделирования жидкости, на самом деле является неверным.

Моделирование жидкости – область компьютерной графики, использующая средства вычислительной гидродинамики для реалистичного моделирования, анимации и визуализации жидкостей, газов, взрывов и других связанных с этим явлений, в то время как задача симуляции поверхности жидкости является задачей моделирования волны, что сильно упрощает используемый математический аппарат.

## 1.2 Перспективность исследований

Активному развитию данной области способствуют кинематограф и игровая индустрия, которые используют разработанные методы в своих продуктах. Так например в данной работе частично реализована модель океанской поверхности, которая была использована в фильме "Титаник".

Хотя CPU с каждым годом увеличивают свою мощность, ее все равно еще не достаточно для использование реалистичных моделей поверхности жидкости в компьютерных играх. Решением данной проблемы может стать одно из перспективных направлений исследований в последнее время – распределенные вычисления на GPU. Именно этот подход используется в данной работе для увеличения скорости работы программы.

Если для кинематографа скорость не является ключевым фактором, то в игровой индустрии – наоборот. Поэтому, пока у пользователей нет возможности использовать необходимую мощность для просчета реалистичной модели воды, данная область исследований останется перспективной, так как с одной стороны необходимо улучшать внешний вид моделей и их физическое поведение, так с другой стороны – нельзя выходить за рамки возможного количества вычислений, т.е. необходимо разрабатывать новые модели и более оптимизированные алгоритмы.

### 1.3 Постановка задачи

В данной работе решается задача моделирования поверхности открытого океана в реальном времени с использованием GPU для вычисления поля высот.

### 1.4 Возможные методы решения

Существует много подходов к моделированию и анимации поверхности воды. Большая часть из них основана на аналитической модели суперпозиции волн, и решение здесь либо задается сразу в виде линейной комбинации тригонометрических функций со специально подобранными коэффициентами, либо получается в результате обратного преобразования Фурье со специально заданным спектром. Выбор спектра и определяет сложность, реалистичность и детализацию модели. Такие модели могут быть как очень сложными и дорогими с вычислительной точки зрения, так и довольно простыми.

Моделированием водной поверхности занималось достаточное количество разработчиков, наиболее успешным среди которых был Тессендорф (Tessendorf). Именно его модель частично реализована в данной работе.

### 1.5 Используемые технологии

- Программа написана на OpenGL 4.1 с использованием GLFW3 в качестве GUI.
- Для вычисления поля высот используется технология CUDA и библиотека CUFFT для вычисления обратного преобразования Фурье.
- Библиотека SDL2\_image и Devil необходимы для загрузки текстур для шейдера.
- В качестве библиотеки линейной алгебры используется библиотека GLM, специально разработанная для использования с OpenGL.

## 2 Используемые математические модели

### 2.1 Модель волны

В данной работе рассмотрен статистический метод создания волны. Модели такого типа основаны на возможности разложения поля высоты волны в сумму синусоид и косинусоид с использование случайных величин для генерации амплитуд частот. Вычислительно более выгодно использовать БПФ для вычисления этих сумм.

Поле высот с использованием БПФ можно представить в виде сумм синусоид с сложными, изменяющимися со временем амплитудами:

$$h(\mathbf{x}, t) = \sum_{\mathbf{k}} \tilde{h}(\mathbf{k}, t) \exp(i\mathbf{k} \cdot \mathbf{x}) \quad (1)$$

где  $\mathbf{x} = (x_1, x_2)$  – положение точки на двумерной сетке,  $t$  – время, а  $\mathbf{k} = (k_1, k_2)$ ,  $k_1 = \frac{2\pi n}{L_1}$ ,  $k_2 = \frac{2\pi m}{L_2}$ ,  $-\frac{N}{2} \leq n < \frac{N}{2}$ ,  $-\frac{M}{2} \leq m < \frac{M}{2}$ .

Величины амплитуды однозначно задают все поле высот. Идея статистического метода заключается в создании случайных наборов амплитуд, удовлетворяющих эмпирическим законам океанографии.

Океанографические исследования показали, что уравнение 1 является достаточно точным представлением ветряных волн, возникающих в открытом океане.

$\tilde{h}(\mathbf{k}, t)$  можно представить в виде:

$$\tilde{h}(\mathbf{k}, t) = \tilde{h}_0(\mathbf{k}) \exp(i\omega(k)t) + \tilde{h}_0^*(-\mathbf{k}) \exp(-i\omega(k)t) \quad (2)$$

где  $\tilde{h}_0(\mathbf{k})$  – амплитуды поля высоты в момент времени  $t = 0$ , которые задаются по формуле:

$$\tilde{h}_0(\mathbf{k}) = \frac{1}{\sqrt{2}}(\xi_r + i\xi_i)\sqrt{P_h(\mathbf{k})} \quad (3)$$

где  $\xi_r, \xi_i \sim N(0, 1)$ , а  $P_h(\mathbf{k})$  – спектр Филлипса, который задается эмпирической формулой:

$$P_h(\mathbf{k}) = A \frac{\exp(-1/(kL)^2)}{k^4} |\hat{\mathbf{k}} \cdot \hat{\boldsymbol{\omega}}|^2 \quad (4)$$

в которой  $L = \frac{V^2}{g}$ .

Именно спектр Филлипса является необходимым эмпирическим законом океанографии, благодаря которому волны становятся похожи на

настоящие. Данная формула была получена с помощью экспериментальных данных разного вида, собиравшихся в течение продолжительного количества времени.

## 2.2 Модель освещения

В качестве модели освещения используется модель Блинна-Фонга. Несмотря на то, что существуют более точные модели освещения, она является стандартом в компьютерной графике.

Основная идея модели Блинна-Фонга заключается в предположении, что освещенность каждой точки тела разлагается на 3 компоненты:

1. фоновое освещение (ambient),
2. рассеянный свет (diffuse),
3. бликовая составляющая (specular).

Свойства источника определяют мощность излучения для каждой из этих компонент, а свойства материала поверхности определяют её способность воспринимать каждый вид освещения.



Рис. 1: Модель Блинна-Фонга

Фоновое освещение это постоянная в каждой точке величина надбавки к освещению. Вычисляется фоновая составляющая освещения как:

$$I_a = k_a i_a, \text{ где} \quad (5)$$

- $I_a$  – фоновая составляющая освещенности в точке;
- $k_a$  – свойство материала воспринимать фоновое освещение;
- $i_a$  – мощность фонового освещения.

Рассеянный свет при попадании на поверхность рассеивается равномерно во все стороны. При расчете такого освещения учитывается только ориентация поверхности (нормаль) и направление на источник света. Рассеянная составляющая рассчитывается по закону косинусов (закон Ламберта):

$$I_d = k_d(\vec{L} \cdot \vec{N})i_d, \text{ где} \quad (6)$$

- $I_d$  – рассеянная составляющая освещенности в точке,
- $k_d$  – свойство материала воспринимать рассеянное освещение,
- $\vec{L}$  – направление из точки на источник,
- $\vec{N}$  – вектор нормали в точке,
- $i_d$  – мощность рассеянного освещения.

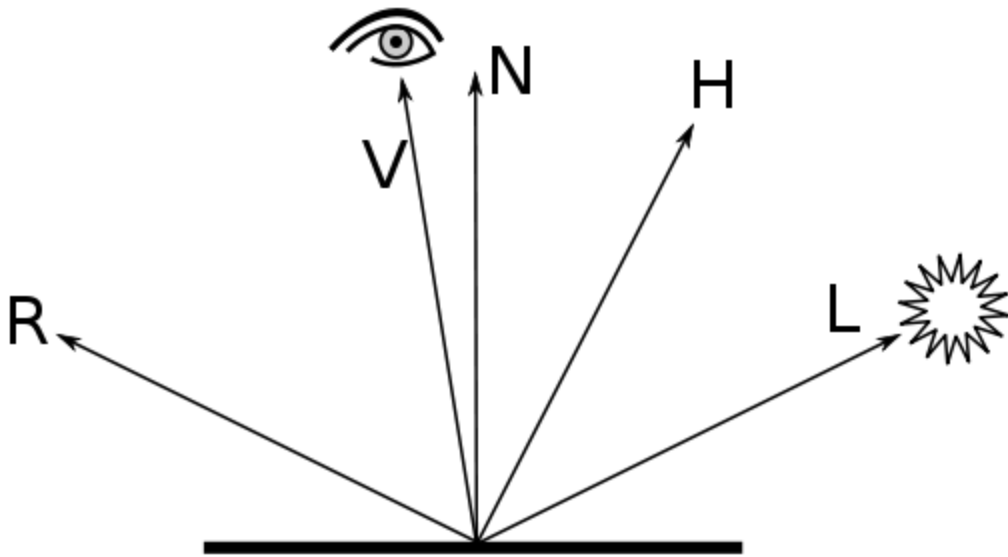


Рис. 2: Необходимые векторы для модели Блинна-Фонга

Зеркальный свет при попадании на поверхность подчиняется следующему закону: “Падающий и отраженный лучи лежат в одной плоскости с нормалью к отражающей поверхности в точке падения, и эта нормаль

делит угол между лучами на две равные части”. Т.о. отраженная составляющая освещенности в точке зависит от того, насколько близки направления на наблюдателя и отраженного луча. Это можно выразить следующей формулой:

$$I_s = k_s (\vec{H} \cdot \vec{N})^\beta i_s, \text{ где} \quad (7)$$

- $I_s$  – зеркальная составляющая освещенности в точке,
- $k_s$  – коэффициент зеркального отражения,
- $\vec{H} = \frac{\vec{L} + \vec{V}}{|\vec{L} + \vec{V}|}$  – ориентация площадки, на которой будет максимальное отражение,
- $\vec{N}$  – вектор нормали в точке,
- $i_s$  – мощность зеркального освещения,
- $\beta$  – коэффициент блеска, свойство материала.

Именно зеркальное отражение представляет наибольший интерес, но в то же время его расчет требует больших вычислительных затрат. При фиксированном положении поверхности относительно источников света фоновая и рассеянные составляющие освещения могут быть просчитаны единожды для всей сцены, т.к. их значение не зависит от направления взгляда. С зеркальной составляющей этот фокус не сработает и придется пересчитывать её каждый раз, когда взгляд меняет свое направление.

Во всех вычислениях выше, для рассеянной и зеркальной компонен, если скалярное произведение в правой части меньше нуля, то соответствующая компонента освещенности полагается равной нулю.

### 3 Детали реализации

#### 3.1 Скайбокс

Скайбокс – объект в трёхмерной графике, играющий роль неба и горизонта. Представляет собой несложную трёхмерную модель (как правило, куб), с внутренней стороны которой натянута текстура неба – "кубическая текстура".

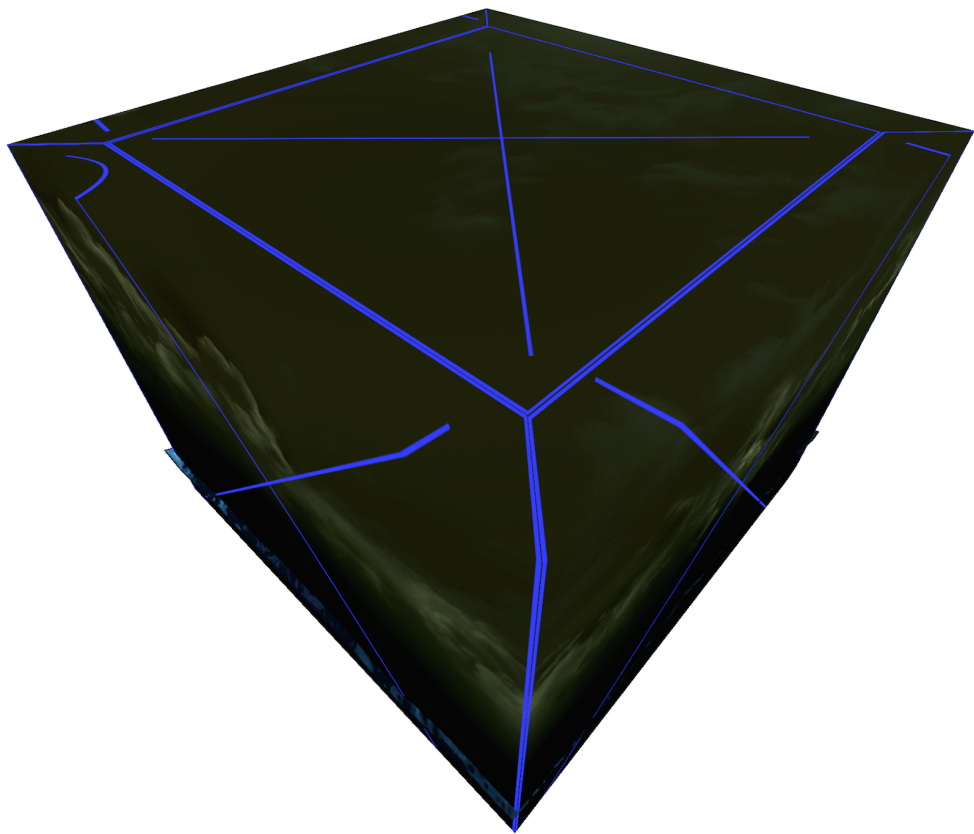


Рис. 3: Реализованный скайбокс

Обработка трёхмерной графики требует много вычислительной работы, поэтому "честно" просчитывать объекты, находящиеся на горизонте, было бы расточительством. К тому же, трёхмерное аппаратное обеспечение имеет Z-буферы, которые из-за ограниченной разрядности отбрасывают всё, что находится далёко от камеры.

Поэтому удалённые объекты изображаются крайне примитивно: в виде куба, шесть граней которого — текстуры неба и горизонта. Если отобразить этот куб так, чтобы камера находилась точно в центре, будет казаться, что через камеру действительно видны небо и горизонт.

В данной компьютерной симуляции скайбокс реализован в виде куба с 6-ю различными текстурами, которые накладываются на каждую из граней.

Фрагментный шейдер, используемый для текстурирования имеет три-виальный вид:

```
1 #version 410 core
2
3 in vec3 texCoord;
4 out vec4 fColor;
5 uniform samplerCube cubemap;
6
7 void main (void) {
8     fColor = texture(cubemap, texCoord);
9 }
```

### 3.2 Поле высот

Для того, чтобы эффективно реализовать симуляцию, используя распределенные вычисления на GPU, необходимо принимать во внимание следующие 2 факта:

1. Копирование данных со стороны CPU на сторону GPU является очень затратной операцией,
2. GPU имеет ограниченный объем памяти.

Вторая проблема решается на уровне постановки задачи — предполагается, что вся необходимая для симуляции информация, полностью помещается в памяти GPU.

Для того, чтобы решить первую проблему, необходимо написать программу таким образом, чтобы значения, вычисленные на GPU не передавались обратно на сторону CPU, а сразу копировались в OpenGL буффер. Для того, чтобы реализовать такое поведение, CUDA предоставляет 4 функции:

- cudaGraphicsGLRegisterBuffer — регистрирует вспомогательную CUDA структуру, которая может обращаться к OpenGL буферу,
- cudaGraphicsMapResources — соединяет вспомогательную структуру с OpenGL буфером,

- `cudaGraphicsResourceGetMappedPointer` – возвращает указатель, с помощью которого можно скопировать данные в OpenGL буфер напрямую,
- `cudaGraphicsUnmapResources` – закрывает соединение вспомогательной структуры с OpenGL буфером.

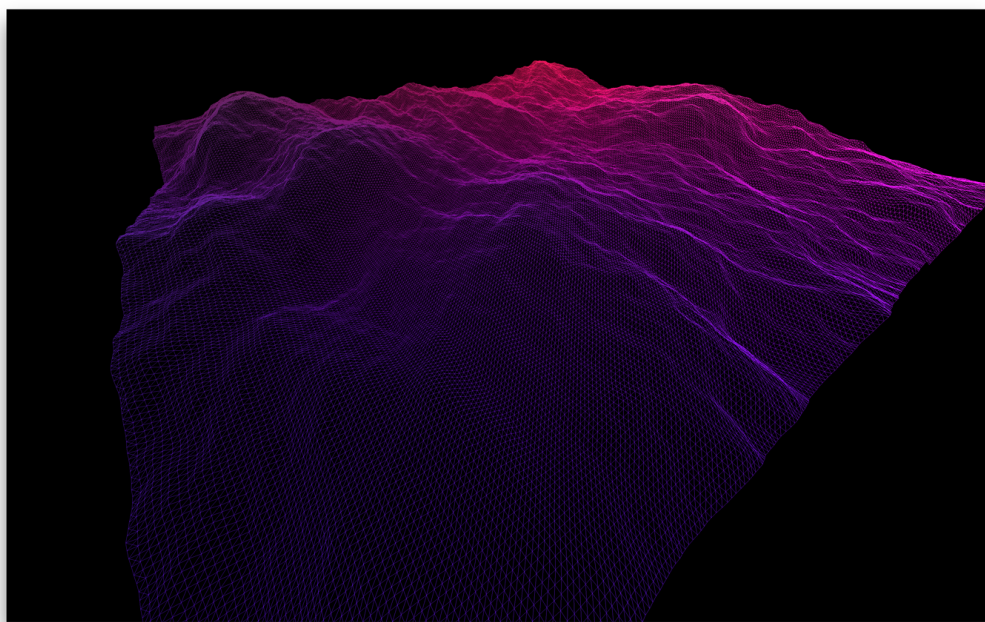


Рис. 4: Пример сгенерированного поля высот

Вычисление поля высот происходит каждый раз, когда рендерится изображение.

```

1 // generate wave spectrum in frequency domain
2 cudaGenerateSpectrumKernel(d_h0, d_ht, spectrum, meshSize,
   meshSize, curTime, patchSize);
3
4 // execute inverse FFT to convert to spatial domain
5 checkCudaErrors(cufftExecC2C(fftPlan, d_ht, d_ht,
   CUFFT_INVERSE));
6
7 // update heightmap values in vertex buffer
8 checkCudaErrors(cudaGraphicsMapResources(1, &
   cuda_heightVB_resource, 0));
9 checkCudaErrors(cudaGraphicsResourceGetMappedPointer((void **)
   &g_hptr, &num_bytes, cuda_heightVB_resource));

```

```

10  || cudaUpdateHeightmapKernel(g_hptr, d_ht, meshSize, meshSize);
11  || checkCudaErrors(cudaGraphicsUnmapResources(1, &
12    cuda_heightVB_resource, 0));

```

В данном коде функции cudaGenerateSpectrumKernel, cufftExecC2C, cudaUpdateHeightmapKernel выполняются на GPU. Функция cufftExecC2C является библиотечной функцией, которая производит в данном случае обратное преобразование Фурье, а оставшиеся функции написаны вручную и имеют следующую реализацию:

```

1 // generate wave heightfield at time t based on initial
2 // heightfield and dispersion relationship
3 __global__ void generateSpectrumKernel(float2 *h0, float2 *ht,
4                                         unsigned int in_width, unsigned int out_width,
5                                         unsigned int out_height, float t, float
6                                         patchSize)
7 {
8     unsigned int x = blockIdx.x*blockDim.x + threadIdx.x;
9     unsigned int y = blockIdx.y*blockDim.y + threadIdx.y;
10    unsigned int in_index = y*in_width+x;
11    unsigned int in_mindex = (out_height - y)*in_width + (
12        out_width - x); // mirrored
13    unsigned int out_index = y*out_width+x;
14
15    float2 k;
16    k.x = ((int)out_width / 2.0f + x) * (2.0f * CUDART_PI_F /
17                                              patchSize);
18    k.y = ((int)out_width / 2.0f + y) * (2.0f * CUDART_PI_F /
19                                              patchSize);
20
21    float k_len = sqrtf(k.x*k.x + k.y*k.y);
22    float w = sqrtf(9.81f * k_len);
23
24    if((x < out_width) && (y < out_height)) {
25        float2 h0_k = h0[in_index];
26        float2 h0_mk = h0[in_mindex];
27        ht[out_index] = complex_add(complex_mult(h0_k, complex_exp(
28            (w * t))),
29                                     complex_mult(conjugate(h0_mk),
30                                     complex_exp(-w * t)));
31    }
32
33 // update height map values based on output of FFT
34 __global__ void updateHeightmapKernel(float *heightMap,
35                                       float2 *ht, unsigned int width)
36 {
37     unsigned int x = blockIdx.x * blockDim.x + threadIdx.x;
38     unsigned int y = blockIdx.y * blockDim.y + threadIdx.y;

```

```

33 ||     unsigned int i = y * width + x;
34 ||     float sign_correction = ((x + y) & 0x01) ? -1.0f : 1.0f;
35 ||     heightMap[i] = ht[i].x * sign_correction;
36 || }
37 || }
```

Функция generateSpectrumKernel генерирует поле высот из начально-го поля высот и пройденного времени, а updateHeightmapKernel – вспомогательная функция, которая реализует смещение точек после обрат-ного преобразования Фурье.

Не менее интересной является реализация функции, которая генери-рует начальное поле высот:

```

1  || float Waves::phillips(float Kx, float Ky)
2  {
3      float k_squared = Kx * Kx + Ky * Ky;
4
5      if (k_squared == 0.0f) {
6          return 0.0f;
7      }
8
9      float L = windSpeed * windSpeed / g;
10     float k_x = Kx / sqrtf(k_squared);
11     float k_y = Ky / sqrtf(k_squared);
12     float w_dot_k = k_x * windDir.x + k_y * windDir.y;
13     float phillips = A * expf(-1.0f / (k_squared * L * L))
14             / (k_squared * k_squared) * w_dot_k *
15                 w_dot_k;
16
17     // filter out waves moving opposite to wind
18     if (w_dot_k < 0.0f) {
19         phillips *= dirDepend; // dir_depend;
20     }
21
22     return phillips;
23 }
24
25 void Waves::generateH0()
26 {
27     for (unsigned int y = 0; y < spectrum; ++y) {
28         for (unsigned int x = 0; x < spectrum; ++x) {
29             float kx = (-(int)meshSize / 2.0f + x) * (2.0f *
30                     CUDART_PI_F / patchSize);
31             float ky = (-(int)meshSize / 2.0f + y) * (2.0f *
32                     CUDART_PI_F / patchSize);
33
34             float P = sqrtf(phillips(kx, ky));
35
36             heightMap[y * spectrum + x] = P;
37         }
38     }
39 }
```

```

33     float Er = gauss();
34     float Ei = gauss();
35
36     float h0_re = Er * P * CUDART_SQRT_HALF_F;
37     float h0_im = Ei * P * CUDART_SQRT_HALF_F;
38
39     int i = y * spectrum + x;
40     h_h0[i].x = h0_re;
41     h_h0[i].y = h0_im;
42 }
43 }
44 }
```

### 3.3 Освещение

Реализация модели освещения Блинна-Фонга имеет стандартный вид:

```

1 /* vertex shader */
2 #version 410 core
3
4 layout(location = 0) in vec4 meshPos;
5 layout(location = 1) in float height;
6 layout(location = 2) in vec2 slope;
7
8 uniform mat4 PVM;
9 uniform vec3 lightPos;
10 uniform vec3 eyePos;
11
12 out vec3 l;
13 out vec3 h;
14 out vec3 n;
15 out vec3 r;
16
17 out vec4 pos;
18
19 void main() {
20     vec3 lp = abs(lightPos);
21     vec3 p = vec3(meshPos.x, 1e+2 * height, meshPos.z);
22     gl_Position = PVM * vec4(p, 1.0);
23     p.x = p.x - 1000; p.z = p.z - 1000;
24     p.y = p.y - 500;
25     pos = vec4(p, 1.0);
26     l = normalize(lp - p);
27     vec3 v = normalize(eyePos - p);
28     h = normalize((v + l) / length(v + l));
29     n = normalize(cross(vec3(0.0, slope.y, 1.0 / 256), vec3(1.0
30         / 256, slope.x, 0.0)));
31     r = reflect(-l, n);
```

```

31 ||}

1  /* fragment shader */
2 #version 410 core
3
4 in vec4 pos;
5 out vec4 fColor;
6
7 uniform vec3 sourceColor;
8 uniform vec3 diffColor;
9 uniform vec3 specColor;
10 uniform vec3 lightPos;
11 uniform vec3 eyePos;
12
13 in vec3 l;
14 in vec3 h;
15 in vec3 n;
16 in vec3 r;
17
18 uniform vec3 Ka;
19 uniform vec3 Kd;
20 uniform vec3 Ks;
21 uniform float alpha;
22
23 vec3 BlinnPhongModel()
24 {
25     return Ka * sourceColor +
26            Kd * max(dot(n, -l), 0.0) * diffColor +
27            Ks * max(pow(dot(n, h), alpha), 0.0) * specColor;
28 }
29
30
31 void main (void) {
32     vec3 BlinnPhong = exp(-0.8 + 1.2*abs(pos.x/3000+pos.z/3000))
33             * BlinnPhongModel();
34     fColor = vec4(BlinnPhong, 0.9);
35 }
```

В фрагментном шейдере используется  $\alpha$ -канал не равный единице, в данной реализации  $\alpha = 0.9$ , чтобы была возможность сквозь воду пропускать дно.

## 4 Подведение итогов

### 4.1 Полученные результаты

Результат работы программы виден на следующем скриншоте:

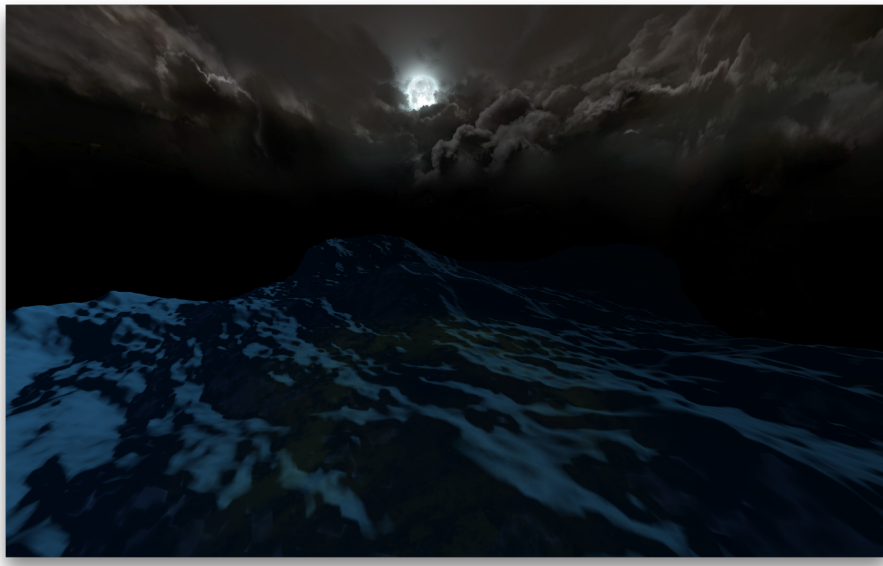


Рис. 5: Скриншот работы программы

Полученный результат напоминает жидкость, но океан имеет более сложную текстуру. Можно было бы продолжить исследовать проблему симуляции поверхности океана и добавить такие эффекты, как порывистые волны, брызги, пену, более подходящую для океана модель освещения, интерференцию волн, отражение мира на поверхности воды, каустический эффект и многое другое, которые бы улучшили внешний вид воды, но тема слишком сложная для любительского ознакомления.

### 4.2 Вывод

Симуляция поверхности океана - очень интересный, важный и активно развивающийся раздел моделирования. С помощью распределенных вычислений на GPU можно добиться вычисления очень большой площади поверхности в режиме реального времени с неплохой точностью. В данной работе была реализована самая простая статистическая модель волны, однако даже эта модель позволяет просчитать поведение волн с хорошей точностью.

## Список литературы

- [1] Tessendorf, J. 2001. Simulating Ocean Water. ACM SIGGRAPH.
- [2] NVIDIA. 2011. Ocean Surface Simulation. NVIDIA Graphics SDK 11 Direct3D.
- [3] Chin-Chih Wang, Jia-Xiang Wu, Chao-En Yen, Pangfeng Liu, Chuen-Liang Chen. Ocean Wave Simulation in Real-time using GPU.
- [4] Farber, R. 2011, CUDA Application Design and Development, Applications of GPU computing, Elsevier Science
- [5] David B. Kirk, Wen-mei W. Hwu. 2012, Programming Massively Parallel Processors: A Hands-on Approach, Newnes